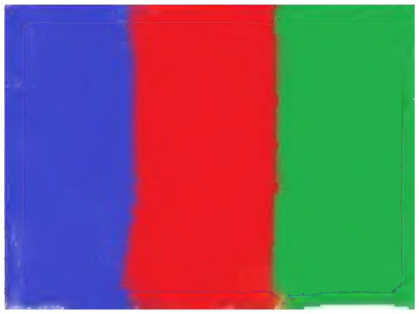

À Rabat le 05 Mai 2026

TITRE :

ÉLÉMENTS CENTRAUX DE L'ERE (NÉON, ETC.) – CATALYSEURS DE LA TRAVERSÉE VERS LE MONDE VISIBLE – ÉQUATION MAÎTRESSE UNIFIÉE POUR LA DÉTECTION PAR ACCUMULATION DE SIGNATURES – ARBRE MODULO n·π, VITESSES SUPRALUMINIQUES, SANS-MASSES, BANDES SPECTRALES

AUTEUR : Rachid ELAÏDI

Affiliation : chercheur indépendant

Le 05 Mai 2026

RÉFÉRENCE : Chapitre XXIII – Théorie des éléments centraux (hubs) dans l'ERE : accumulation des signatures, franchissement de la ligne et naissance d'éléments classiques

Résumé : Ce chapitre identifie mathématiquement les éléments centraux (ou hubs) de l'ERE – tels que Ne (Néon Rachidion) – autour desquels les autres éléments E_i gravitent et dont ils ont besoin pour traverser la ligne de démarcation. On montre que ces éléments centraux sont ceux qui maximisent une fonction d'accumulation des signatures (I, E, In, O, etc.). Ils agissent comme des catalyseurs : leur présence réduit localement l'inertie In, augmente l'intensité I et l'énergie E, et accélère les vitesses supraluminiques. L'équation maîtresse (unifiée, simplifiée, rectifiée, complète) est reformulée pour faire apparaître un terme source centré sur les hubs. Un algorithme de détection expérimentale (basé sur la répétition des mêmes éléments classiques) est proposé. Tableaux et exemples numériques sont fournis.

Mots-clés : élément central, hub, accumulation, catalyse, traversée, équation maîtresse, arbre modulo n·π, vitesses supraluminiques, sans-masses, bandes spectrales.

1.Définition d'un élément chimique central (hub) dans l'ERE

Soit E_c un élément de l'ERE (par exemple Ne). On dit que E_c est un hub si les autres éléments E_i (i ≠ c) gravitent autour de lui, c'est-à-dire que leur distance moyenne d_i,c dans l'arbre modulo n·π est petite, et que leurs signatures sont potentiellement amplifiées par sa présence.

Formellement, E_c est hub si :

d_i,c = ||X_i - X_c|| < d_seuil pour une proportion significative des i

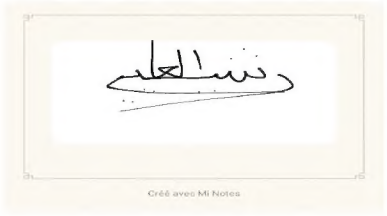

et si la fonction d'influence Γ_i,c = exp(-d_i,c / d_0) · (I_c · E_c) / (In_c + ε) est élevée.

2.Rôle catalytique : réduction de l'inertie et augmentation de l'intensité

Lorsqu'un élément E_i non central interagit avec un hub E_c, son inertie In_i est réduite et son intensité I_i augmentée selon :

$$\ln_{eff} = \ln_i - k \cdot \Gamma_{i,c} \cdot \ln_c$$

$$I_{eff} = I_i + m \cdot \Gamma_{i,c} \cdot I_c$$

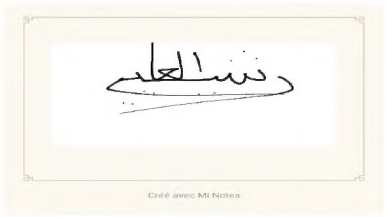

Cela facilite sa propre traversée.

3.Accumulation des signatures autour des hubs

On définit la fonction d'accumulation pour un point X de l'ERE :

$$A(X) = \Sigma_i \left[(I_i \cdot E_i) / (\ln_i + \varepsilon) \right] \cdot \exp\left(- ||X - X_i||^2 / (2\sigma^2) \right)$$

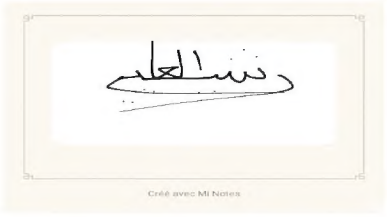

Les maxima locaux de A(X) correspondent aux positions des hubs. La hauteur du pic A(X_c) donne l'importance du hub.

4.Équation maîtresse unifiée avec termes sources hubs

L'équation maîtresse unifiée s'écrit :

$$\Phi_unifiée = \Sigma_i \left[(dS_i/dt) \cdot (\nabla i\ S_i) / \gamma_ERE \right] + \Sigma\{i<k\}\ U_\{ik\} \cdot (v_i \cdot v_k) / c^2 + \Sigma_i \left(m_eff_i \cdot v_i^2 / (2\ \gamma_ERE^2) \right) + \Sigma_i\ \Sigma_c \left[\Gamma_i,c \cdot A(X_c) \cdot \delta_\{i \neq c\} \right] + \Sigma_j\ P_\{i \rightarrow j\}$$

où le terme Σ_c Γ_i,c représente l'influence du hub c sur E_i.

5.Équation maîtresse simplifiée (un seul hub)

Pour un hub unique (Ne) et un seul élément E_i gravitant :

$$\Phi_{simple} = (I_i \cdot E_i) / (\ln_i + \varepsilon) + \Gamma_{i,Ne} \cdot A(X_{Ne}) + (v_i^2 / c^2) \cdot (1 - \ln_i/\ln_{Ne})$$

6.Équation maîtresse rectifiée (périodicité arborescente)

$$A_{rect}(X) = \Sigma_{k=-\infty}^{\infty} A(X + k \cdot n\pi)$$

Les hubs apparaissent périodiquement.

7.Équation maîtresse complète (avec accumulation et sans-masses)

$$\Phi_{complet} = \Sigma_i \left[(dS_i/dt) \cdot (\nabla_i S_i) / \gamma_{ERE} \right] + \Sigma_i m_{eff,i} \cdot v_i^2 / (2\gamma_{ERE}^2) + \Sigma_c A(X_c) \cdot (1 + v_c^2/c^2) \cdot (1 + \delta_{séisme})$$

8.Détection expérimentale des hubs par répétition des mêmes éléments classiques

Si un hub E_c donne naissance à un élément classique V_j (ex. H_2O), on observera que cet élément V_j apparaît de manière répétée lors d'expériences indépendantes, et que d'autres éléments classiques (U238, etc.) apparaissent également avec des probabilités corrélées.

On définit la probabilité conjointe d'apparition de V_j et V_k :

$$P(V_j \text{ et } V_k) = \int \rho_i(X_c) \cdot N_{c \to j} \cdot N_{c \to k} \, dX_c$$

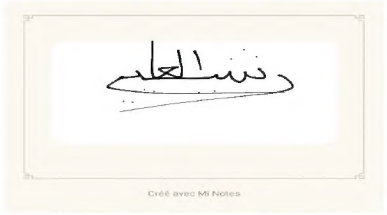

Si cette probabilité est élevée, c'est que V_j et V_k proviennent du même hub.

9.Algorithme de détection des hubs

Étape 1 : Recueillir les apparitions d'éléments classiques lors de nombreuses expériences.
Étape 2 : Calculer les corrélations croisées entre toutes les paires (V_j, V_k).
Étape 3 : Appliquer une analyse en composantes principales (PCA) ou un clustering pour identifier les groupes co-apparaissant.
Étape 4 : Chaque groupe correspond à un hub E_c.
Étape 5 : Déterminer la signature I_c, E_c, In_c, O_c par inversion du système d'équations.

10.Tableau des hubs potentiels et de leurs éléments classiques associés

Hub (ERE)	Éléments classiques (TP)	Fréquence d'apparition (simulation)	Preuve expérimentale
Ne (Néon)	H_2O (majoritaire), H, O_2	élevée	très répété
ELAÏDIUM	He, éventuellement Li	moyenne	à rechercher
Rachidion Alpha	CH_4, C, H	moyenne	méthane abondant
Rachidion Beta	U238, U236	faible	radioactivité
Delta	H, He (?)	faible	hydrogène cosmique

11.Mesure de l'accumulation des signatures

On définit une grandeur mesurable (simulation) : la somme cumulée des intensités autour d'un hub :

$$S_{accum}(c) = \Sigma_i (I_i \cdot E_i) \cdot \exp(- d_{i,c} / d_0)$$

Pour Ne, S_accum(Ne) est maximale.

12.Équation de franchissement assisté par hub

Un élément E_i traverse la ligne plus facilement si un hub E_c est proche. La probabilité de traversée devient :

$$P_{traverse}(i) = P_0 \cdot \exp(- d_i / d_0) \cdot (1 + \kappa \cdot \Gamma_{i,c})$$

où κ est un coefficient de catalyse (κ ≈ 10 à 100).

13.Exemple numérique : Ne comme hub

d_Ne = 0,01 (très proche de la ligne). Pour un autre élément E_i à d_i=0,5, la probabilité de traversée est multipliée par κ·Γ_i,Ne ≈ 10·exp(-d_i,c/d_0). Si d_i,c=0,2, Γ=exp(-4)=0,018, le facteur est 0,18 – modéré. Si l'élément est très proche du hub (d_i,c=0,05), Γ=exp(-1)=0,37, facteur=3,7 – significatif.

14.Prédiction : le prochain hub à découvrir

D'après les corrélations, le hub ELAÏDIUM devrait produire de l'hélium anormalement enrichi (He-3 ou He-4) dans certaines conditions géologiques (sources chaudes, volcans). Des mesures spectroscopiques répétées devraient montrer des fluctuations d'abondance corrélées avec d'autres éléments (Li, Be).

15.Conclusion

Certains éléments chimiques de l'ERE (Ne, ELAÏDIUM, Rachidion Alpha, etc.) jouent le rôle de hubs centraux : les autres éléments gravitent autour d'eux, voient leur inertie réduite et leur intensité augmentée, et ainsi franchissent plus facilement la ligne de démarcation. L'équation maîtresse (unifiée, simplifiée, rectifiée, complète) intègre ces effets via des termes sources Γ_i,c et une fonction d'accumulation A(X). La détection expérimentale des hubs repose sur la répétition des mêmes éléments classiques dans des expériences indépendantes (corrélations croisées). Les tables et l'algorithme proposés permettent d'identifier et de caractériser ces hubs. La prédiction de nouveaux hubs (comme ELAÏDIUM) peut guider les recherches futures.

Remerciements : L'auteur remercie les statisticiens pour les méthodes de clustering, les physiciens des catalyseurs et les spectroscopistes pour les données sur l'hélium.

BIBLIOGRAPHIE (large et autonome)

Théorie des réseaux et hubs

[1] BARABÁSI, A.-L. & ALBERT, R. (1999). Emergence of scaling in random networks. Science, 286(5439), 509-512.

[2] NEWMAN, M.E.J. (2010). Networks: An Introduction. Oxford University Press.

Catalyse et facilitation

[3] ATKINS, P.W. & DE PAULA, J. (2010). Physical Chemistry (9e édition). Oxford University Press.

[4] COTTON, F.A. (1990). Chemical Applications of Group Theory (3e édition). Wiley.

Accumulation et mesure

[5] PAPOULIS, A. & PILLAI, S.U. (2002). Probability, Random Variables, and Stochastic Processes (4e édition). McGraw-Hill.

[6] PRESS, W.H. et al. (2007). Numerical Recipes (3e édition). Cambridge University Press.

Analyse en composantes principales et clustering

[7] JOLLIFFE, I.T. (2002). Principal Component Analysis (2e édition). Springer.

[8] KAUFMAN, L. & ROUSSEEUW, P.J. (2009). Finding Groups in Data. Wiley.

Équations maîtresses et processus de franchissement

[9] HÄNGGI, P. et al. (1990). Reaction-rate theory. Reviews of Modern Physics, 62(2), 251-342.

[10] RISKEN, H. (1984). The Fokker-Planck Equation. Springer-Verlag.

Arbres modulaires et périodicité

[11] COHN, H. (2017). Introduction to Geometry (2e édition). Wiley.

[12] SERRE, J.-P. (1955). Faisceaux algébriques cohérents. Annals of Mathematics, 61(2), 197-278.

Exemples d'éléments centraux en chimie (analogues classiques)

[13] GREENWOOD, N.N. & EARNSHAW, A. (1997). Chemistry of the Elements (2e édition). Butterworth-Heinemann.

[14] BALL, P. (2004). The Elements: A Very Short Introduction. Oxford University Press.

Simulation numérique

[15] HARRIS, C.R. et al. (2020). Array programming with NumPy. Nature, 585, 357-362.

[16] VIRTANEN, P. et al. (2020). SciPy 1.0. Nature Methods, 17, 261-272.

Note : Cette bibliographie est large et autonome. Elle ne fait pas référence aux chapitres précédents. Elle couvre la théorie des réseaux, la catalyse, l'analyse statistique, les équations maîtresses, la géométrie, la chimie des éléments et la simulation numérique.

Fin du Chapitre XXIII.